

Письма в ЖТФ, том 15, вып. 13

12 июля 1989 г.

ВЛИЯНИЕ ОБРАБОТКИ В КОРОННОМ РАЗРЯДЕ НА ПАРАМЕТРЫ ЯЧЕЙСТЫХ СТРУКТУР ДЛЯ МАГНИТООПТИЧЕСКОГО ТРАНСПАРАНТА

А.Н. Ануфриев, В.Г. Костишин

Коронный разряд характеризуется многофакторностью воздействия на обрабатываемый объект. При коронном разряде наблюдается ультрафиолетовое излучение, озонация и ионизация воздуха. На поверхности обрабатываемого объекта адсорбируются ионы кислорода, в результате чего происходит окисление поверхности объекта и создание в нем сильных электростатических полей. Все эти факторыказываются на оптических и магнитных характеристиках феррит-гранатовых пленок, на базе которых формируются ячеистые структуры для магнитооптических транспарантов.

Изменение параметров эпитаксиальных пленок в коронном разряде во многом определяется технологией их получения: степенью переохлаждения раствор-расплава и содержанием в нем свинца [1]. Обработка в коронном разряде приводит к росту поля анизотропии H_K и уменьшению температуры Кюри во всех типах исследуемых структур. При этом в пленках, выращенных при малых температурах и больших переохлаждениях из свинец-содержащих растворов-расплавов, наблюдается увеличение намагниченности насыщения M_s и поля коллапса H_o . В пленках, выращенных при больших температурах и малых переохлаждениях из свинец-содержащих растворов-расплавов, M_s и H_o при обработке в коронном разряде уменьшаются. Это наблюдается и в пленках, выращенных из бессвинцовых растворителей. Обработка в коронном разряде „просветляет“ образцы с большим содержанием свинца по всему спектру, а с незначительным – в ближней ИК-области и обуславливает сильное дополнительное поглощение в бессвинцовых структурах в диапазоне длин волн 0.8–1.2 мкм.

В данной работе исследовалось воздействие коронного разряда на параметры ячеек, выполненных на базе пленки состава ($BiTm$)₃ ($FeGa$)₅ θ_{12} , выращенной на подложке из гадолиний–галлиевого граната с ориентацией (111). Пленки выращивались при малых температурах и больших переохлаждениях из свинца содержащих растворов–расплавов. Ячеистая структура формировалась двумя методами: методом размерного травления пленки на определенную глубину [2] (образцы №№ 1 и 2) и методом локального снижения намагниченности [3] (образец № 3). При отжиге под пленкой SiO намагниченность в ячейке уменьшилась вдвое. Часть образца № 1 была имплантирована ионами гелия с энергией 50 кэВ и дозой $2 \cdot 10^{15} \text{ см}^{-2}$. Параметры образцов приведены в таблице.

Параметры исследуемых образцов

№ п/п	Размер ячейки, мкм	Пороговое поле перекл. ячейки H_{Π} , кА/м	Разброс поро- гового поля δH_{Π} , %	ω , мкм	H_K , кА/м	M_S , кА/м	h мкм
1	2	3	4	5	6	7	8
1	40x40	1.2	25	12	90	0.8	6.5
2	100	1.3	15	18	105	0.6	7.2
3	135	7.2	45	24	195	0.7	7.0

П р и м е ч а н и е: ω – полупериод полосовой доменной структуры, H_K – поле одноосной анизотропии; M_S – намагниченность насыщения; h – толщина феррит–гранатовой пленки.

Среднее значение порогового поля ячеек и его разброс определялись по матрице 15×15 ячеек.

Напряжение коронного разряда составляло 25 кВ, ток разряда поддерживался постоянным и составлял 200 мкА при площади коронирующего электрода равной 25 см^2 . Образец располагался под коронирующим электродом на металлической пластине, подсоединеной к положительной клемме высоковольтного источника питания. Обработка в коронном разряде велась при нормальных атмосферных условиях. Время выдержки варьировалось в пределах 0.5–60 часов. Параметры ячеистых структур измерялись магнитооптическим методом. В процессе измерений снимались кривые зависимости времени перемагничивания ячейки t_n от величины импульсного магнитного поля H_i при различных временах обработки в коронном разряде, а также зависимость импульсного порогового поля перемагничивания ячейки H_{ip} от длительности обработки в коронном разряде.

Исследование частично имплантированной пленки (образец № 1) показало, что как в имплантированной, так и в неимплантированной части структуры с ростом времени обработки в коронном разряде $T_{обр}$ наблюдается рост порогового поля ячеек. Однако в имплантированной части рост порогового поля происходит более интенсивно. При этом общий ход кривых идентичен ходу зависимости $H_{\Pi}=f(T_{обр})$.

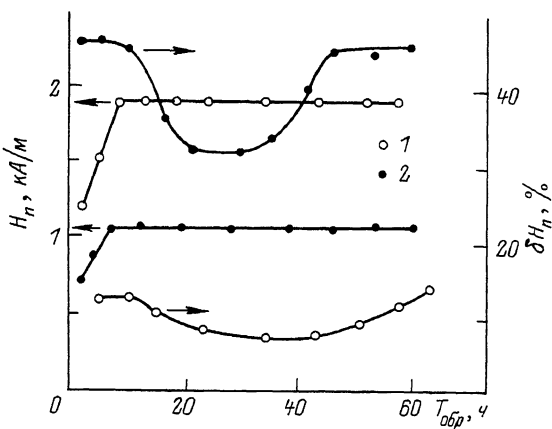


Рис. 1. Зависимость порогового поля ячеек H_{π} и величины его разброса δH_{π} от времени обработки в коронном разряде $T_{обр}$ для образцов: 1 - № 2; 2 - № 3.

для образцов №№ 2; 3 (см. рис. 1). Видно, что кривые выходят на насыщение при $T_{обр}=5-10$ часам. Интересно отметить, что зависимость поля коллапса доменов в пленке от длительности обработки в коронном разряде ведет себя аналогично зависимости $H_{\pi}=f(T_{обр})$.

Величина разброса порогового поля ячеек имеет минимум при $T_{обр}=20-30$ часов. У ячеек, полученных методом снижения намагниченности (см. рис. 1), минимум выражен более ярко.

Обработка в коронном разряде приводит к сдвигу динамических кривых $\tau_n=f(H_{\pi})$ (см. рис. 2). При этом у ячеек, полученных методом снижения намагниченности, при $T_{обр}=65$ и 20 часам, наблюдается снижение времени перемагничивания в малых импульсных полях (до 3.2 кА/м).

Исследования величины импульсного порогового поля переключения ячеек показали, что его зависимость от длительности обработки в коронном разряде имеет сложный характер и идентична зависимости $H_K=f(T_{обр})$ (см. рис. 3). Интересно отметить, что минимальное время переключения ячеек в малых полях наблюдается при минимуме H_K , реализующимся при $T_{обр}=20$ часам.

При $T_{обр}=30$ часам наблюдается повышение коэрцитивности ячеистой структуры, что сопровождается образованием крупных доменов с рваными краями. При этом импульсное пороговое поле переключения ячеек достигает своей максимальной величины.

Анализируя полученные данные, можно предположить, что исследуемые явления обусловлены диффузией ионов кислорода в поверхность ячеистой структуры. При этом на первом этапе обработки ячеистой структуры в коронном разряде наблюдается „залечивание“

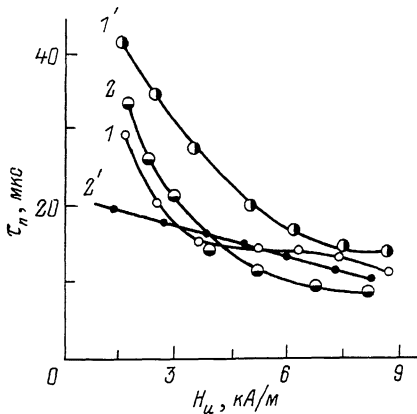


Рис. 2. Зависимость времени переключения ячейки τ_n от величины импульсного перемагничивающего поля H_u при различных временах обработки образцов в коронном разряде: № 2: 1 - $T_{\text{обр}}=0$ ч; 1 - 20 ч. № 3: 2 - $T_{\text{обр}}=0$ ч; 2 - $T_{\text{обр}}=20$ ч.

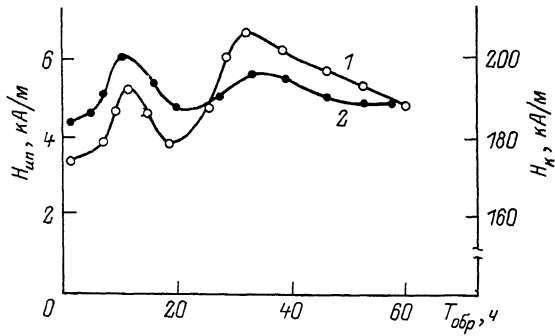


Рис. 3. Зависимость импульсного порогового поля перемагничивания ячейки $H_{\text{пп}}$ и поля одноосной анизотропии H_k от времени обработки в коронном разряде $T_{\text{обр}}$ для образца № 3 при длительности перемагничивающего импульса $\tau_u=15$ мкс.

дефектов в пленке (0–7 часов), что сопровождается ростом поля коллапса, намагниченности насыщения пленки и порогового поля переключения ячейки. На втором этапе (7–20 часов) происходит изменение механизма зарядовой компенсации в пленке, что подтверждается появлением ионов Fe^{4+} по данным эффекта Мёсбауэра [1].

Можно предположить, что замещение Fe^{3+} на Fe^{4+} в октаэдрической или тетраэдрической подрешетках приводит к уменьшению температуры Кюри структуры, обнаруженному экспериментально. В пленках, полученных при высоких температурах роста и малых переохлаждениях, Fe^{4+} входит, преимущественно, в октаэдрическую подрешетку и вызывает уменьшение намагниченности насыщения, а в пленках, полученных при низких температурах роста и больших переохлаждениях – в тетраэдрическую, вызывая увеличение M_s .

Мёсбауэровские исследования монокристаллических образцов $Y_3Fe_5O_{12}$, обработанных в коронном разряде, показывают, что кроме появления ионов Fe^{4+} происходит также перераспределение ионов железа по подрешеткам: в тетраэдрической подрешетке появляется дополнительное число вакансий, а интенсивность одного из секстиплетов октаэдрической подрешетки увеличивается. То есть, для ионов Fe^{4+} более предпочтительнее оказываются октаузлы [4].

Дальнейшая обработка в коронном разряде, возможно, приводит к смешению редкоземельных ионов в пределах элементарной ячейки и изменению поля анизотропии пленки.

Более сильный рост порогового поля ячеек в имплантированной части структуры можно объяснить облегченной диффузией ионов кислорода в пленку, „разрыхленную” внедренными ионами.

Авторы благодарны А.В. Маркялису и Г.А. Зубаускасу за проведение ионной имплантации структур.

Список литературы

- [1] Костишин В.Г., Летюк Л.М., Ануфрьев А.Н. и др. В сб.: Тезисы докладов XI Всесоюзной школы-семинара „Новые магнитные материалы микроэлектроники”. Ташкент, 1988 г., с. 17–18.
- [2] Клин В.П., Нам Б.П., Соловьев А.Г. и др. // Электронная техника, сер. Материалы. 1981. В. 5 (154). С. 20–22.
- [3] Клин В.П., Нам Б.П., Павлов В.Т. и др. // Электронная техника, сер. Материалы. 1981. В. 12 (161). С. 19–21.
- [4] Шипко М.Н., Костишин В.Г., Летюк Л.М. и др. В сб.: Научные труды Гиредмета, 1988 г., № 145, с. 30–36.

Поступило в Редакцию
17 апреля 1989 г.